

# 鋳鋼の機械的性質ならびに延性破壊過程における およぼす凝固組織形態の影響

大 島 聰 範\*  
林 忠 夫\*\*

Influence of Macrostructure on Mechanical Properties  
and Ductile Fracture Process of Steel Castings.

Toshinori OSHIMA  
Tadao HAYASHI

## 要 旨

本研究は、中炭素低合金鋳鋼について、等軸晶、柱状晶および微細等軸晶の3種類の凝固組織形態における機械的性質ならびに延性破壊挙動とデンドライト形態、空洞および介在物の形状、分布状態との関連性を明らかにすることを目的として行なったものである。

## Synopsis

Mechanical properties and ductile fracture process of steel casting were investigated in three kinds of macrostructure i. e. equiaxed, columnar and fine equiaxed, concerning dendrite morphology, shape and distribution of microshrinkage cavity and nonmetallic inclusion.

## I 緒 言

鋳鋼の機械的強度特性については、種々の面から研究されているが、鍛鋼や圧延鋼とくらべて、その究明は立遅れの感があり、樹枝状晶、ミクロポロシティ、介在物、ミクロ偏析などの凝固組織と、機械的性質との関係については未だに不明確な点が多い。

鍛鋼は、同一成分の鍛鋼との比較では、引張り強さ、降伏点はほとんど変わらないが、伸び、絞り、衝撃値などが劣っている<sup>(1)</sup>。伸び、絞りは引張り試験において、最大荷重点以後の、不均一変形領域における変形挙動、さらには、延性破壊の発生伝播の機構と密接に関連しているものであり、凝固組織中に存在する各種の欠陥や不均一性は、これらの面において重要な役割を演ずるものと考えられる。しかしながら、このような点に注目した研究は、あまり行なわれていない。

本研究は、中炭素低合金鋳鋼の小鋼塊を用いて、等軸晶、柱状晶および微細等軸晶の3種類の凝固

組織形態における機械的性質ならびに延性破壊挙動とミクロポロシティ、介在物、ミクロ偏析などの欠陥および不均一性との関連性を明らかにすることを目的として行なったものである。

## II 実 験 方 法

### (1) 供試鋼塊

凝固組織形態のことなる鋼塊を得るために二種類の凝固法を用いた。一方は普通静止凝固であり、他方は上層攪拌凝固である。これは、溶湯の凝固過程でその上層部を軽く攪拌することにより、初晶結晶を分散沈降させ、底部に微細結晶を堆積させて全体を微細な等軸晶組織とする方法である<sup>(2)</sup>。溶解は高周波電気炉を使用、鋳型寸法はφ180 mm × 200 mm、鋼塊重量は約30 kgである。静止鋼塊は表面から15 mm程度まで柱状晶が生成し、内部は等軸晶であった。攪拌鋼塊は全体がほぼ均一な微細等軸晶組織であった。これらを切断分割し、機械加工によって各種試験片を作成したが、凝固組織形態によって、次のように3種類に分類した。すなわち、静止鋼塊の等軸晶部を等軸晶N材、柱状晶部を柱状晶NC材、攪拌鋼塊の等軸晶部を微細等軸晶S材とした。

\* 助教授 機械工学科

\*\* 技官 機械工学科

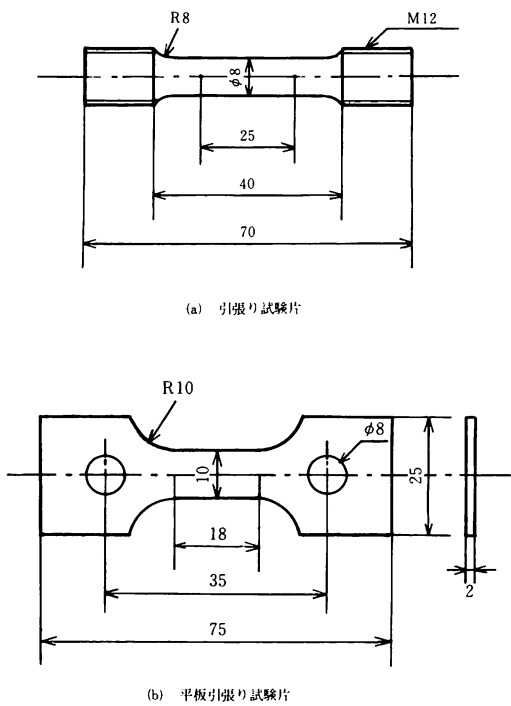


図-1 試験片の寸法ならびに形状

### (2) 引張り試験

試験片は図1に示す寸法形状のものを用いた。図1(b)の平板試験片は表面を鏡面研磨し、引張り応力附加に伴なう表面の変形およびクラック発生伝播の状況を観察するために使用した。試験機は50 ton油圧型電子管式万能試験機を使用し、差動トランス型伸び計により荷重-伸び線図をX-Yレコーダーに記録した。また、不均一変形域における試験片中心部の状況を観察するために、引張り中断試験を行なった。これは、荷重-伸び線図の最大荷重点を越えてneckingが開始した後、破断前に荷重をゼロに戻し、試験片を取りはずして、necking発生部分の中心軸に沿った断面を研磨し観察するものである。

### (3) 介在物および欠陥の評価

介在物の評価方法として、JISの清浄度のほかに、分布状態をポアソン分布と比較することにより、分布の不均一性を定量化して表わした<sup>(3)</sup>。以下その方法を説明する。

先ず、各組織について100倍の顕微鏡写真を撮影し、75×120 mm<sup>2</sup>に引伸ばしたものを作成する。1コマに存在する介在物数を数えてこれをx個とする。つぎに1コマ中にx個の介在物が存在するマス数の全マス数に対

する割合を求めて、これをE<sub>x</sub>とする。さらに、介在物がポアソン分布をしていると仮定した場合の1マス中にx個の介在物が存在する確率P<sub>x</sub>を求める。

$$\text{ここで } P_x = e^{-m} \frac{m^x}{x!} \quad (x=0, 1, 2, 3, \dots)$$

$$e = 2.7183 \quad m = 1 \text{ コマ中の平均介在物数}$$

このようにして求めたP<sub>x</sub>、E<sub>x</sub>を縦軸に、xを横軸にプロットすると、P<sub>x</sub>とE<sub>x</sub>との間にズレがあるのは、介在物の分布が不均一であることを表わすことになる。ここで、そのズレを定量化するため、P<sub>x</sub>とE<sub>x</sub>の差の平方和を求めてこれをDとする。

$$D = \sum (P_x - E_x)^2$$

このDをもって、介在物の分布の不均一性を表わすものとする。

### (4) 成分ならびに熱処理

試験片の化学成分は表1に示す。熱処理は真空電気炉により950°C焼純、850°C油焼入、650°C焼戻しを行なった。保持時間はいずれも1時間であるが、焼純時間については、均質化に伴なう強度と延性の変化を調べる意味で、1~45 hrまで数段階にわたって変化させた。

表1 供試材の化学成分 (wt %)

| C     | Si    | Mn    | P    | S     | Ni   | C <sub>r</sub> | M <sub>o</sub> |
|-------|-------|-------|------|-------|------|----------------|----------------|
| 0.55  | 0.15  | 0.60  | 0.03 | 0.025 | 0.25 | 0.09           | 0.15           |
| ~0.60 | ~0.35 | ~0.85 | 以下   | 以下    | 以下   | ~1.20          | ~0.03          |

### (5) その他

この他、シャルピー衝撃試験、ビッカース硬さ試験はJISに規定の方法で行った。

## III 実験結果ならびに考察

表2に各材種の諸性質をまとめて示した。等軸晶N材と比較して、柱状晶NC材の延性がすぐれていること、および、微細等軸晶S材の強度が大きいにもかかわらず、延性はN材よりも良好であることが注目される。また、清浄度および介在物数は各材種ともあまり変わらないが、分布の不均一性がNC材、S材、N材の順に大きくなっている。なお、これについては後述する。図2、3は引張り強さに対する伸び、絞りの関係を示す。図中の数字は焼純時間hrをあらわすものである。いずれも焼純による均質化で性質が向上しているが、各材種によって焼純の効果が異なることはないものとみられる。

表2 供試材の諸性質

| 組<br>織 | 記号 | デンドライ<br>トームス<br>ペーシング | 清浄度   | 介在物<br>分布不<br>均一性     | 降伏点                              | 引張り強さ                            | 伸び            | 絞り             | 衝撃値                         | マイクロピッカース硬さ     |
|--------|----|------------------------|-------|-----------------------|----------------------------------|----------------------------------|---------------|----------------|-----------------------------|-----------------|
|        |    |                        |       |                       |                                  |                                  |               |                |                             | 樹枝部             |
|        |    | d<br>mm                | p     | D<br>$\times 10^{-2}$ | $\sigma_y$<br>kg/mm <sup>2</sup> | $\sigma_B$<br>kg/mm <sup>2</sup> | $\delta$<br>% | $\varphi$<br>% | E/A<br>kg·m/cm <sup>2</sup> | Hm <sub>1</sub> |
| 等軸晶    | N  | 0.24                   | 0.111 | 1.9                   | 76.3                             | 84.0                             | 10.2          | 14.2           | 5.16                        | 265             |
| 柱状晶    | NC | 0.36                   | 0.108 | 3.2                   | 74.7                             | 84.2                             | 22.1          | 39.0           | 6.12                        | 296             |
| 微細等軸晶  | S  | 0.16                   | 0.105 | 2.5                   | 82.3                             | 91.8                             | 14.4          | 21.2           | 5.34                        | 295             |
|        |    |                        |       |                       |                                  |                                  |               |                |                             | Hm <sub>2</sub> |

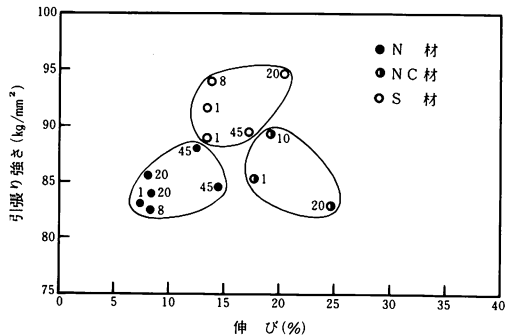


図-2 引張り強さと伸びの関係

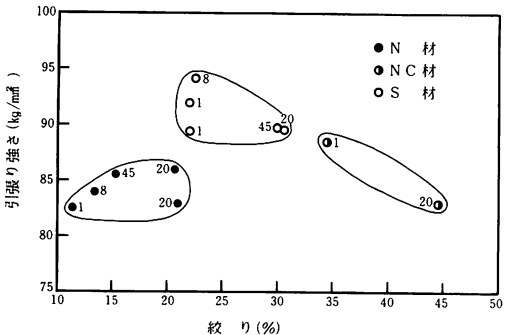


図-3 引張り強さと絞りの関係

図4は引張り試験の荷重-伸び線図である。等軸晶N材は最大荷重点を過ぎてからの伸びが少ないが、柱状晶NC材および微細等軸晶S材は、この領域の伸びが大きい。これより、全伸びの大きさはnecking発生後の局部伸び、すなわち不均一変形領域における挙動によって左右されることがわかる。また、絞りは局部伸びに対応する変形であるから、これと同様の傾向を示すものと考えてよいであろう。

鋼の延性破壊においては、necking開始以後の塑性変形にともなって、介在物、第2相粒子その他の微小欠陥を起点としてクラックが発生し、変形の進行とともにポイドを形成しつつそれらが合体連結して、より大きな空洞を生じ、最終破断に至る。以上は鍛鋼についての一般的な過程であるが、鋳鋼においては、凝固組織中に存在する各種欠陥ならびに不均一性の大きさが、前述のポイドあるいは空洞と同程度のオーダーであることが多く、これらを考慮に入れた上で、破壊のクラック発生伝播の挙動を明らかにする必要がある。

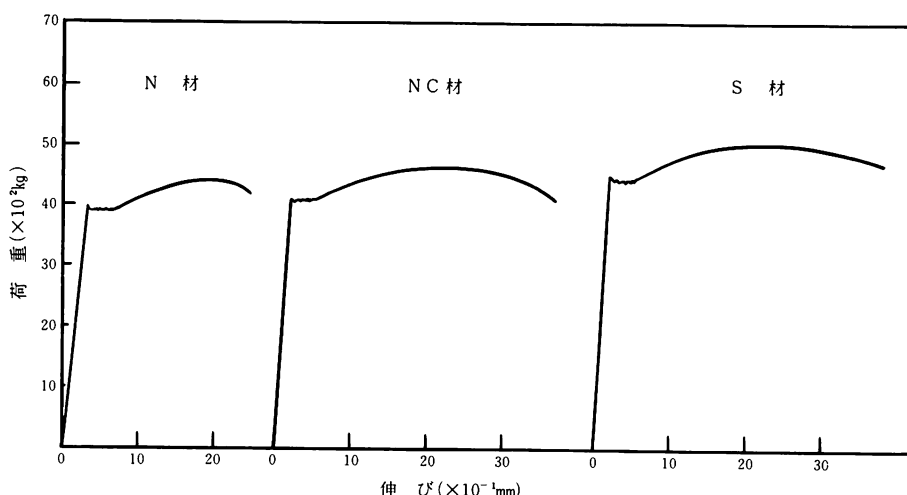


図-4 引張り試験の荷重-伸び線図

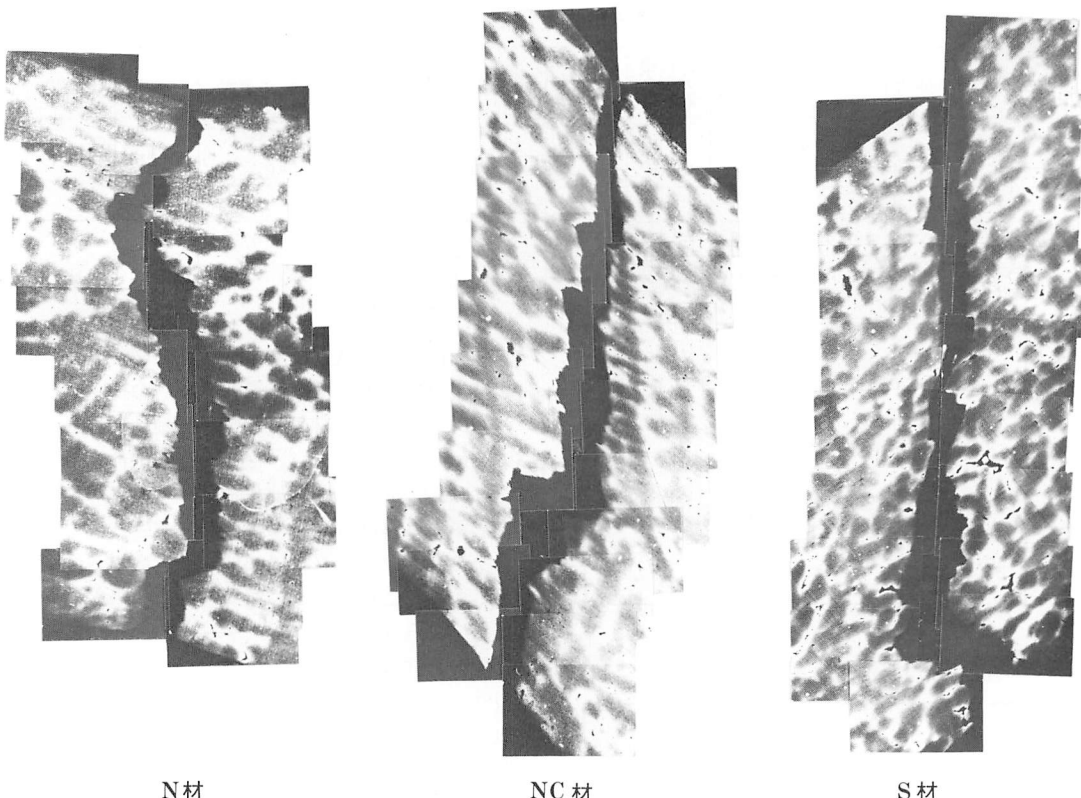


写真1 引張り破断部における破面とデンドライトの対応

写真1は引張り破断後の縦断面であるがオーバーホッファー腐食により、樹枝部は黒色、樹間部は白色となっている。等軸晶N材は変形が少なく、破断面は樹間部に沿っており、その屈曲はデンドライトの形態とよく対応している。これは樹間部に各種欠陥が多く存在し、ミクロ偏析により硬度は高いが脆く変形能が小さいことなど、破壊の発生伝播が優先的に生じやすいためと考えられる。微細等軸晶S材は変形が大きく、破断面は必ずしも樹間部に沿っているとは限らない。また屈曲とデンドライトの対応もやや不明瞭である。これは、N材とくらべてデンドライトが微細であるためと考えられ、破断面が延性に富む樹枝部を含むことにより、延性が大きくあらわれたものと思われる。これに対して、柱状晶NC材では、変形が大きいにもかかわらず、破断面は樹間部に沿っており、その方向は1次デンドライトの主軸に一致し、屈曲も2次デンドライトによく対応している。このように破壊の経路となりやすい樹間部が、引張り応力と直角な方向に存在することは、一般的に延性に対しては不利な要因であると考えられ

るがそれにもかかわらず、柱状晶NC材の伸び、絞りがすぐれていることは、破壊の発生伝播に対しても、デンドライトの形態だけでなく、樹間部における空洞や介在物ならびにミクロ偏析などもまた重要な因子であることを示すものであろう。

写真2、3、4は引張り中断試験による、necking発生部の状況を示す。いずれもかなり大きな空洞が生じているが、その分布形態およびクラックの発生状況は、かなり異なっている。等軸晶は空洞の数が最も多く、形状は角ばっており、近接した空洞はほとんどクラックで連結されている。引張り方向と垂直な大きなクラックは、近接した空洞が連結して生じたものであろう。柱状晶NC材は空洞の数がやや少なく、形状は丸味を帶びており、引張り方向に対してかなり変形を生じている。また、空洞が近接していてもクラックで連結されているものではなく、空洞の連結合体は全く生じていない。微細等軸晶S材は空洞の数が最も少なく、形状はN材と同様である。近接した空洞はクラックで連結されているものもあるが、N材のように大きなクラックは形成されていない。

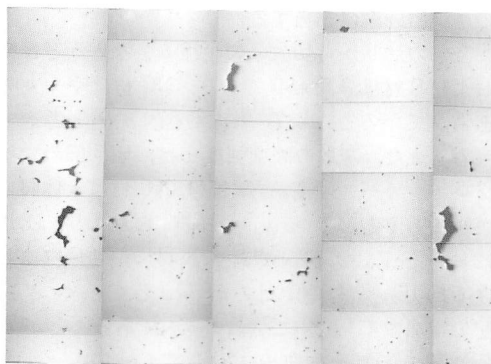


写真 2-a N材  
引張り試験片の necking 発生部の断面

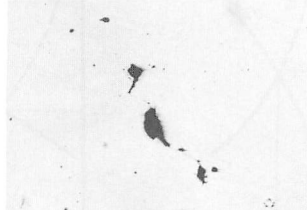


写真 2-b N材  
necking 発生部における欠陥とクラック

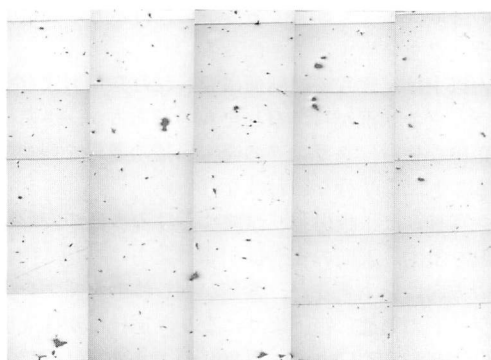


写真 3-a NC 材  
引張り試験片の necking 発生部の断面



写真 3-b NC 材  
necking 発生部における欠陥とクラック

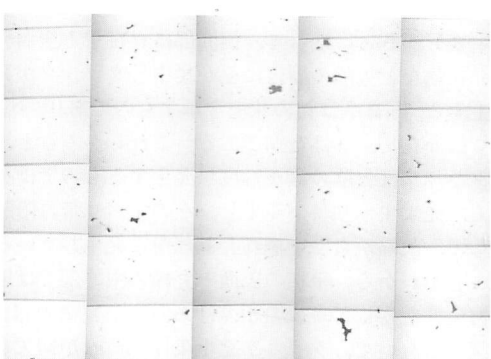


写真 4-a S 材  
引張り試験片の necking 発生部の断面



写真 4-b S 材  
necking 発生部における欠陥とクラック

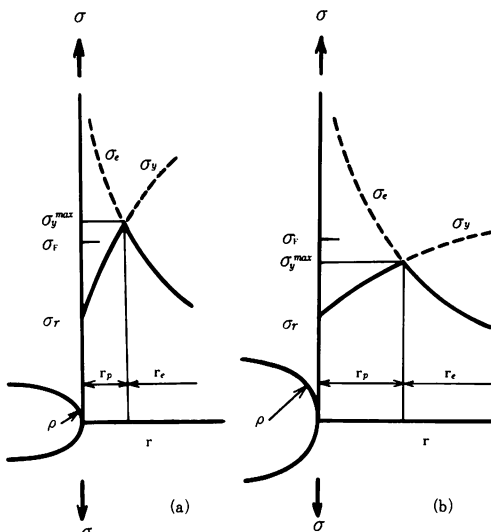


図-5  
2次元的な厚板中における切欠周辺の応力分布

以上の結果から、鋳鋼の延性破壊において、クラックは樹間部の空洞の周辺で発生し、介在物などの微小欠陥を辿って樹間部を優先的に伝播し、隣接する空洞を連結合体しつつより大きな空洞、クラックを形成して最終破断に至るものと考えられる。凝固組織形態によって延性に差が生じる理由は、上述の過程でクラックの発生伝播の状況が異なるためであろう。これらの状況を左右する要因としては、空洞の分布形態、形状による応力集中の度合、介在物の分布、基地の強度および変形能などが関与しあってかなり複雑である。

いま、空洞の2次元的な厚板中に存在する切欠きとして考えると、図5(a)のように、外部附加応力σが加わった場合、半径ρの切欠きに近接し弾性応力分布が基地の降状強度σ<sub>F</sub>を越える領域では、r<sub>p</sub>なる塑性域が生じる。r<sub>p</sub>領域内の引張り方向応力σ<sub>y</sub>は切欠きによる塑性拘束によってrとともに増加し、次式で表わされる<sup>(4)</sup>。

$$\sigma_y = \sigma_F [1 + \ln(1 + \frac{r}{\rho})] \quad (1)$$

σ<sub>y</sub>の最大値σ<sub>y</sub><sup>max</sup>は弾性域の応力分布曲線σ<sub>e</sub>との交点において生じる。

ここで基地の破壊強度をσ<sub>F</sub>とすれば、破壊の発生条件はσ<sub>F</sub> ≤ σ<sub>y</sub><sup>max</sup> すなわち、クラックは切欠きに近接した弾性境界における引張り方向応力が、基地の破壊強度に達したとき発生する。このように、クラックの発生条件を左右するのは、σ<sub>y</sub>、σ<sub>e</sub>の分布とσ<sub>F</sub>の大きさであるが、σ<sub>y</sub>、σ<sub>e</sub>は切欠きの半径ρすなわち空洞の形状によって決まる。これに対してσ<sub>y</sub>は基地の強度であり、この場合樹間部

の基地の強度に相当する。

空洞の形状から切欠きの半径ρを考えるとN材およびS材は多角形状であり、NC材はやや丸味を帯びていることからρ<sub>(N)</sub>=ρ<sub>(S)</sub><ρ<sub>(NC)</sub>と考えられる。また、基地の破壊強度σ<sub>F</sub>は、樹間部のマイクロビッカース硬度から、N材、NC材は大体同レベルであるとしてσ<sub>F(N)</sub>=σ<sub>F(NC)</sub>。これより、(1)式においてσ<sub>y(NC)</sub><σ<sub>y(N)</sub>であり、N材の塑性域内における応力σ<sub>y(N)</sub>はNC材のσ<sub>y(NC)</sub>とくらべて急勾配で増加する。さらに、ρ<sub>(N)</sub><ρ<sub>(NC)</sub>であることから、弾性域の応力分布曲線においてもσ<sub>e(NC)</sub><σ<sub>e(N)</sub>であり、結局外部応力が等しい場合でも、弾塑性境界におけるσ<sub>y</sub>の最大値はσ<sub>y(NC)</sub><σ<sub>y(N)</sub>となる。すなわち、N材の方がNC材よりも先に基地の破壊強度に達し、クラックが発生しやすくなる。

また、N材とS材ではρ<sub>(N)</sub>=ρ<sub>(S)</sub>であるとして、σ<sub>y(N)</sub>=σ<sub>y(S)</sub>、σ<sub>e(N)</sub>=σ<sub>e(S)</sub>、σ<sub>y(N)</sub>=σ<sub>y(S)</sub>であるが、基地の強度はσ<sub>F(N)</sub><σ<sub>F(S)</sub>であるからN材の方が先にクラックを発生することになる。

以上は試験片の縦断面に現われた空洞およびクラックの状況から考察したものであるが、さらに正確な検討はクラックの発生伝播の過程を観察することにより行なわねばならない。

写真5は平板引張り試験における表面の変形状況を示す。表面の変形は引張り応力に対しても約45°の方向に発生するが、変形が進むにつれてデンドライトの形態に沿うようになり、樹枝部が優先的に変形し、くぼんで、写真6のようにレリーフ状を呈する。これは、樹枝部と樹間部の変形抵抗の差によって生ずるものと考えられる。外部応力が樹枝部の降伏応力に達しても、樹間部が未だ弾性域であり、より高い応力レベルまで持ちこたえたのち降伏するならば、両者の変形状況に差を生じるとともに、樹間部への応力集中が起る。

変形がさらに進むと、樹間部に存在する空洞や介在物など欠陥の周辺に歪が集中しクラックが発生する。写真7はこの状態を示すものであり、b、cは介在物、aは空洞である。これらをみると、クラックは欠陥の縁から直接発生するものではなく、先ずすべり帶が発生し、そのすべり帶に附随して、欠陥からやや離れた基地中に発生していることがわかる。平板の表面と丸棒の中心部では応力条件からして多少の相違はあるが<sup>\*</sup>、これは、図5において、クラック発生条件σ<sub>y</sub>=σ<sub>F</sub>が切欠きの先端よりやや離れた塑性域内において生じること

\* 附録参照

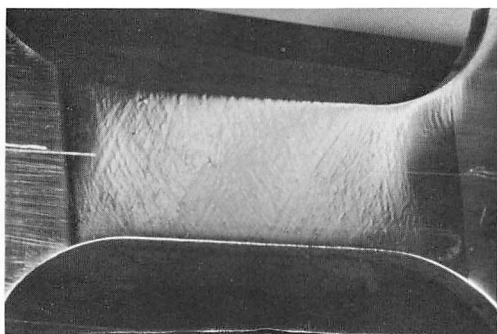
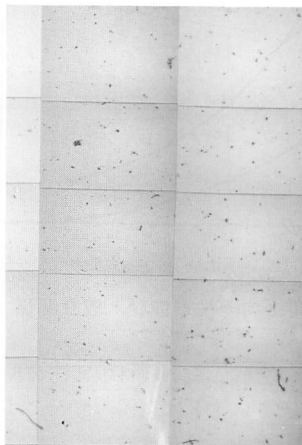


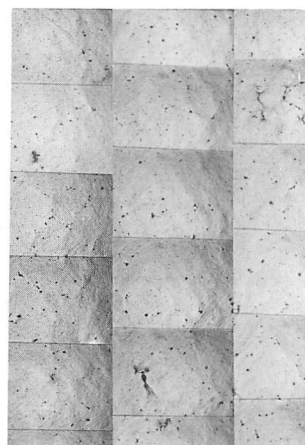
写真 5 平板引張り試験片の表面にあらわれた歪模様

とと一致する。さらに、写真 7 のすべり帯に附随するクラックの発生条件が、基地の強度  $\sigma_F$  によって決まるこことを意味するものである。 $\sigma_F$  の値は理想的には基地のへき開破壊応力に一致すると考えられるが、実際には介在物や第 2 相粒子などの存在によって影響を受ける。写真 7において、すべり帯およびクラックの近傍には必ず介在物が存在していること、写真 4において、クラックが介在物を辿って伝播していることからして、破壊の発生伝播過程においては、介在物の役割を考慮に入れねばならない。

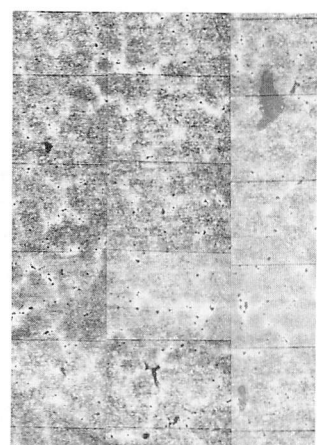
ここで、介在物の分布の不均一性に注目し、N, NC, S の各材について、 $P_x$ ,  $E_x$  を  $x$  に対してプロ



(a) 0.5 mm



(b) 0.5 mm



(c) 0.5 mm

写真 6

平板引張り試験片の表面  
(変形前の状態)

平板引張り試験片の表面  
(変形後の状態)

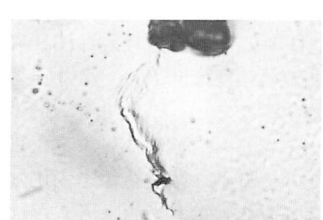
平板引張り試験片の表面  
(b) をオーバー ホップ  
アーケードした状態)



(a) 20  $\mu$



(b) 20  $\mu$



(c) 10  $\mu$

写真 7 平板引張りにおけるすべり帯およびクラックの発生状況

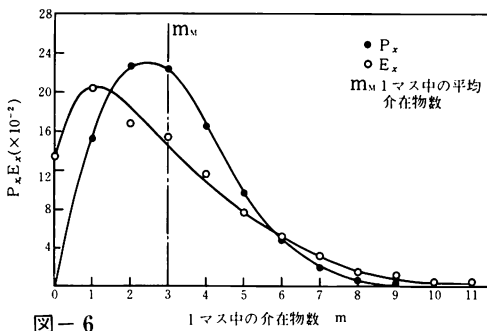
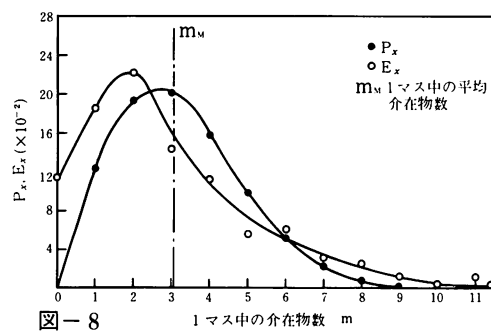
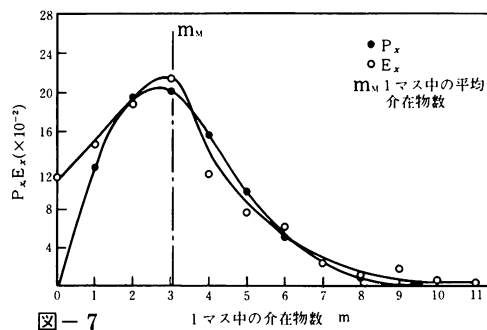
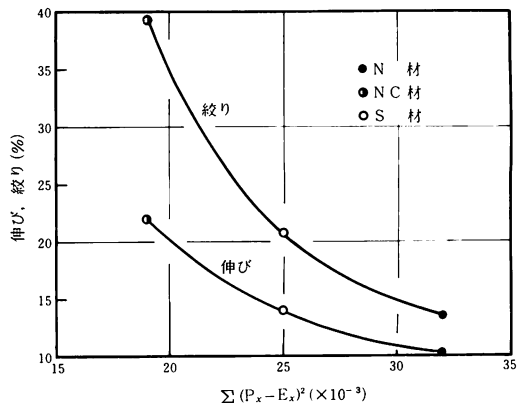
図-6 N材の1マス中の介在物数と $P_x, E_x$ の関係図-8 S材の1マス中の介在物数と $P_x, E_x$ の関係図-7 NC材1マス中の介在物数と $P_x, E_x$ の関係

図-9 介在物分布不均一性と伸び、絞り関係

ロットすれば、図6, 7, 8のようになる。N材の $E_x$ の分布曲線は、ポアソン分布の曲線 $P_x$ とのズレが最も大きく現われている。これに対してNC材は $P_x$ と $E_x$ の両曲線がほとんど重なってよく一致している。S材はN, NC両者の中間的な状態である。すでに述べたように、 $P_x$ と $E_x$ の間にズレがあるのは介在物の分布が不均一であることを意味するものであり、その分布の不均一性をあらわすDの大きさは表2より $D_{(NC)} < D_{(S)} < D_{(N)}$ である。Dが大きいということは、介在物が特定に集中して存在することを意味するものであり、この場合、樹間部の欠陥周辺の基地中の介在物が多いことを示すものと考えられる。介在物が多ければ基地の強度は低下し、クラックの発生伝播は起りやすくなる。

すなわち、延性に対する介在物の影響は、このように基地の強度特性を変化させることによって現われるものであると考えられる。

たとえば、前述のようにN材、NC材の本来の基地の強度は大体等しく $\sigma_{F(N)} = \sigma_{F(NC)}$ であるが、N材の基地はNC材にくらべて介在物が多いことにより、 $\sigma_{F(N)}$ は硬さから予想される値よりも低くなつ

て、実際には $\sigma_{F(N)} < \sigma_{F(NC)}$ となる。NC材の延性がN材とくらべて非常に大きいことは空洞の形状だけでなく、このように介在物の分布状態をも含めた因子を考慮することによって理解されるものであろう。

また、これらのこととは図9に示されるように、介在物分布の不均一性が増加するにつれて、伸び、絞りが減少していることに対する説明となるものである。

写真8はシャルピー衝撃試験片に小打撃を与えて、クラックを発生させ、その伝播状態を調べたものである。これより、破断面が樹間部を通っており、その屈曲がデンドライトの形状とよく一致していること、および、切欠底から発生したクラックの先端で、すでに小さなクラックが先行的に発生していることが認められる。これは、切欠底から発生したクラックの先端よりやや離れた樹間部の基地中で、空洞あるいは介在物を起点とした小クラックが先行的に発生し、これがつぎつぎに伝播し連結合体してより大きなクラックを形成してゆく過程を示すものと考えられる。

写真9はシャルピー試験片の破面であるが、テ



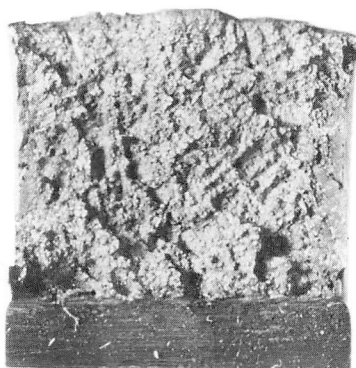
( a )



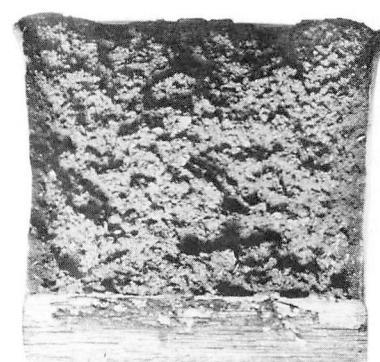
( b )

写真 8

切欠き曲げにおけるクラックの  
発生と伝播



N材



S材

写真 9 シャルピー試験片の破面に現われたデンドライトの形態

ンドライトの形態が明瞭に現われており、クラックの発生伝播における前述の推論を裏付けるものである。このように、引張りと切欠き曲げでは応力条件は異なるが、クラックの発生伝播に対する空洞および介在物の役割は共通する点が多いものと考えられる。

以上、引張りを主体として一部に切欠き曲げを行なって、鉄鋼の延性破壊挙動を調べてきたが、クラックの発生伝播に影響を与えていた要因について、その役割を定性的ながらある程度明らかにすることができた。今後はさらに定量的な取扱いを行なって、より精密な検証を試みたい。

#### IV 結 論

中炭素低合金鋼鉄鋼の等軸晶、柱状晶および微細等軸晶について、その凝固組織形態と機械的性質ならびに延性破壊機構との関係を調べた結果、つぎのようなことが明らかになった。

- (1) 鉄鋼の延性は凝固組織によって異なり、柱状晶が最も大きく、次いで微細等軸晶であり等軸晶は最も小さい。これは介在物の分布の不均一性と対応し、分布の不均一なものほど延性が小さい。
- (2) 延性破壊のクラックはデンドライト樹間部の基地中に発生し、空洞や介在物などの欠陥を辿って樹間部を伝播する。
- (3) クラックの発生および伝播を左右する要因は、欠陥の形状による応力分布状態ならびに介在物分布の不均一性による基地の破壊強度の変化である。

本研究を行なうにあたって御指導いただいた北大工学部高橋忠義教授に深く感謝申しあげる。また試料の溶解その他について御教示御協力いただいた北大工学部工藤昌行氏、北海道工業試験場の各位、実験の一部に協力された本校卒業研究材料実験グループの諸氏ならびに実験装置の製作に御協力いただいた本校実習工場の各位に深く感謝する次第である。

なお、本研究に要した経費の一部は昭和51年度北海道科学的研究補助金によったことを附記する。

#### 文 獻

- (1) T. Crouzatier, 中島、倉部：鉄物 vol 46, No5, p.29
- (2) 高橋、大島、工藤：鉄と鋼, vol 61, No12 (1975) s458
- (3) 祖父江：鉄物 vol 48, No1, p.29
- (4) A. S. Tetelman, and A. J. Mc Evily : "FRAC-

TURE OF STRUCTURAL MATERIALS", John Wiley, New York.

- (5) A. N. Stroh : Proc. Roy. Soc. Ser. A, vol.223 (1954) p.404

- (6) 大塚：造船協会論文集 109 (1961) p.351

(昭和52年12月3日受理)

#### 附 錄

平板の表面では平面応力状態と考えられる。いま、外部応力がある値に達すると、樹間部への応力集中に欠陥の形状による応力集中が加わり、最も応力の高くなつた部分にすべり帯が発生する。このすべり帯が何等かの障害物によって止められた場所に転位が集積し、そのすべり線の下側に引張り応力が発生する。この応力と介在物による応力集中との和が、基地の破壊強度に達するとクラックが発生すると考える。

欠陥を円形と考え、図A-1のように座標をとる<sup>(6)</sup>。PQをすべり線として、Pですべりが止められたとする。P点には転位が集積し、その応力状態は Stroh<sup>(5)</sup>によって計算されている。すなわち、PQから<xなる角度を有する面上のS点に生ずる引張り応力σはPQに作用するせん断応力をτφとすれば

$$\sigma = \frac{3}{2} \left( \frac{L_0}{l} \right)^{\frac{1}{2}} \tau_\phi \sin(\pi - x) \cos \frac{1}{2}(\pi - x) \quad (A-1)$$

$L_0$ ：集積した全転位によって占められる長さ

$l$ ：PS間の距離

円形欠陥による応力集中をσsとすれば、PQ間の( $\sigma + \sigma_s$ )の平均値が、基地の理想強度より大きくなつた場合破壊が生じる。

$$\frac{1}{l} \left[ \int_0^l (\sigma + \sigma_s) dl \right]_{max} = \left( \frac{E\gamma}{a} \right)^{\frac{1}{2}} \quad (A-2)$$

$a$ ：格子定数

$E$ ：ヤング率

$\gamma$ ：表面エネルギー

A-2式の解、すなわち  $\sigma$ 、 $\sigma_s$  は  $\theta$ 、 $\varphi$ 、 $x$  の関数として与えられる。

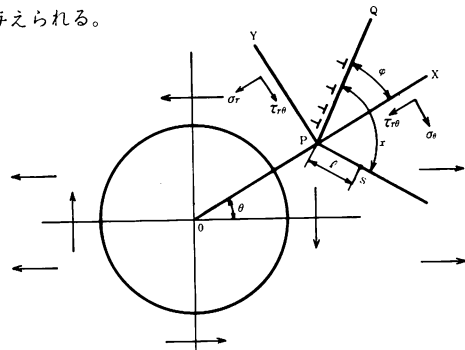


図-A-1 円形欠陥におけるクラック発生機構